

МЕТОД РЕШЕНИЯ ОБЩЕЙ БИГАРМОНИЧЕСКОЙ ЗАДАЧИ ДЛЯ ПРЯМОУГОЛЬНОЙ ОБЛАСТИ ПРИ ЗАДАНИИ НА КОНТУРЕ ЗНАЧЕНИЙ ФУНКЦИИ И ЕЕ НОРМАЛЬНОЙ ПРОИЗВОДНОЙ

Г. А. Гринберг, Н. Н. Лебедев, Я. С. Уфлянд

(Ленинград)

В § 1 работы излагается недавно предложенный метод решения общей бигармонической задачи для неоднородного бигармонического уравнения при задании на контуре области значений искомой функции и ее нормальной производной. К этому классу задач сводятся общая плоская задача теории упругости, а также задача об изгибе упругой тонкой плиты с закрепленным контуром.

Этот метод требует построения специальным образом ортогонализированных систем гармонических функций, характер которых определяется видом области.

В § 2 данной работы проведено построение таких систем для прямоугольной области с любым отношением сторон. По полученным формулам проведены детальные численные расчеты для квадратной области, причем приведены таблицы и графики изгибающих моментов на контуре плиты, находящейся под действием сосредоточенной силы. Проведены также численные расчеты напряжений, возникающих в квадратной пластинке под действием симметричных растягивающих усилий (§§ 3—4).

§ 1. Общий метод интегрирования бигармонического уравнения.

Рассмотрим бигармоническое уравнение с правой частью

$$\Delta\Delta w = \left(\frac{\partial^2}{\partial x^2} + \frac{\partial^2}{\partial y^2}\right)\left(\frac{\partial^2}{\partial x^2} + \frac{\partial^2}{\partial y^2}\right)w = \frac{\partial^4 w}{\partial x^4} + 2\frac{\partial^4 w}{\partial x^2 \partial y^2} + \frac{\partial^4 w}{\partial y^4} = Q(x, y) \quad (1.1)$$

Это уравнение встречается в ряде вопросов теории упругости. Например, в случае изгиба упругой тонкой плиты функция $Q(x, y)$ пропорциональна внешней поперечной нагрузке $q(x, y)$ на плиту:

$$Q(x, y) = \frac{q(x, y)}{D}, \quad D = \frac{Eh^3}{12(1-\nu^2)} \quad (1.2)$$

Здесь D — цилиндрическая жесткость плиты, E — модуль упругости, h — толщина плиты, ν — коэффициент поперечного сжатия.

Однородному бигармоническому уравнению ($Q(x, y) \equiv 0$) удовлетворяет функция напряжений в плоской задаче теории упругости.

Уравнение (1.1) должно быть проинтегрировано при некоторых граничных условиях. В каждой точке контура C рассматриваемой области σ должны выполняться два краевых условия. В настоящей работе рассматриваются граничные условия следующего вида:

$$[w]_C = f(s), \quad \left[\frac{\partial w}{\partial \nu}\right]_C = g(s) \quad (1.3)$$

где s — длина дуги контура, а ν — внешняя нормаль к нему.

В задаче об изгибе плиты с закрепленным контуром $f = g = 0$. В случае плоской задачи теории упругости функции f и g определенным образом связаны с заданными граничными значениями нормальных и касательных напряжений (§ 4). Таким образом, уравнение (1.1) при краевых условиях (1.3) включает в себя как частные случаи и задачу изгиба упругой тонкой плиты с закрепленным контуром и плоскую задачу теории упругости.

Изложим некий общий метод решения таких краевых задач¹. Положим

$$\Delta w = \Delta w_0 - u \quad (1.4)$$

где w_0 — некоторое частное решение уравнения (1.1)², так что

$$\Delta \Delta w_0 = Q \quad (1.5)$$

Тогда очевидно, что u — гармоническая функция, т. е.

$$\Delta u = 0 \quad (1.6)$$

Пусть $\psi_n(x, y)$ ($n = 0, 1, 2, \dots$) — полная в данной области система гармонических функций, т. е. такая система, что всякая гармоническая в этой области функция $v(x, y)$ может быть представлена в виде конечной или бесконечной суммы вида

$$v = \sum_{n=0}^{\infty} v_n \psi_n \quad (1.7)$$

где v_n — некоторые постоянные (коэффициенты разложения).

Будем далее считать, что система эта ортонормирована по области, т. е. что справедливы следующие равенства:

$$\iint_{\sigma} \psi_n \psi_m d\tau = \begin{cases} 0 & (n \neq m) \\ 1 & (n = m) \end{cases} \quad (1.8)$$

Здесь $d\tau$ — элемент площади; интегрирование производится по всей области. Коэффициенты v_n могут быть записаны в такой форме:

$$v_n = \iint_{\sigma} v \psi_n d\tau$$

Применяя эту формулу к функции $v = u$, введенной выше, учитывая соотношение (1.4) и пользуясь формулой Грина, найдем, что

$$\begin{aligned} u_n &= \iint_{\sigma} (\Delta w_0) \psi_n d\tau - \iint_{\sigma} (\Delta w) \psi_n d\tau = \\ &= \iint_{\sigma} (\Delta w_0) \psi_n d\tau - \iint_{\sigma} w (\Delta \psi_n) d\tau - \int_C \left(\psi_n \frac{\partial w}{\partial \nu} - w \frac{\partial \psi_n}{\partial \nu} \right) ds \end{aligned}$$

где последний интеграл берется по контуру области в положительном направлении.

¹ См. работу Г. А. Гринберга [1].

² Такое частное решение всегда может быть найдено.

Вспомогая, что $\Delta\psi_n = 0$, и заменяя $[\partial w / \partial \nu]_G$ и $[w]_G$ через их значения (1.3), получаем окончательную формулу для искомых величин u_n :

$$u_n = \iint_G (\Delta w_0) \psi_n d\tau + \int_G \left(f \frac{\partial \psi_n}{\partial \nu} - g \psi_n \right) ds \quad (1.9)$$

После нахождения коэффициентов u_n задача в принципе может считаться решенной, ибо, зная величину

$$\Delta w = \Delta w_0 - \sum_{n=0}^{\infty} u_n \psi_n \quad (1.10)$$

можно всегда найти функцию w , решая либо задачу Дирихле (граничное условие $[w]_G = f$), либо задачу Неймана (граничное условие $[\partial w / \partial \nu]_G = g$).

Рассмотрим еще вопрос об ортонормировании заданной системы функций по области.

Пусть имеется некоторая полная система гармонических функций $\varphi_n(x, y)$. Составим из нее систему функций $\psi_n(x, y)$ при помощи следующих соотношений:

$$\psi_0 = A_0 \varphi_0, \quad \psi_n = A_n \left[\sum_{p=0}^{n-1} a_{np} \psi_p - \varphi_n \right] \quad (n = 1, 2, 3, \dots) \quad (1.11)$$

Введя обозначение

$$\varphi_{np} = \iint_G \varphi_n \varphi_p d\tau \quad (1.12)$$

и определяя числа a_{np} и A_n из условий ортогональности и нормировки, получаем после выкладок следующие формулы:

$$a_{n0} = A_0 \varphi_{n0} \quad (n=1, 2, 3, \dots)$$

$$a_{np} = A_p \left[\sum_{s=0}^{p-1} a_{ps} a_{ns} - \varphi_{np} \right] \quad \begin{matrix} (n=2, 3, 4, \dots) \\ (p=1, 2, 3, \dots) \end{matrix} \quad (1.13)$$

$$A_0 = \frac{1}{\sqrt{\varphi_{00}}}, \quad A_n = \left(\varphi_{nn} - \sum_{l=0}^{n-1} a_{nl}^2 \right)^{-1/2}$$

Чтобы иметь окончательные выражения для ортонормированных функций ψ_n , положим

$$\psi_n = \sum_{s=0}^n M_{ns} \varphi_s \quad (1.14)$$

Коэффициенты M_{ns} выражаются через числа a_{np} и A_n следующим образом:

$$M_{ns} = A_n \sum_{p=s}^{n-1} a_{np} M_{ps} \quad \begin{matrix} (s=0, 1, 2, \dots, n-1) \\ (n=1, 2, 3, \dots) \end{matrix} \quad (1.15)$$

$$M_{nn} = -A_n \quad (n=1, 2, 3, \dots), \quad M_{00} = A_0$$

Формулы (1.13) и (1.15) дают возможность последовательно вычислять коэффициенты M_{ns} .

На основании всего изложенного решение поставленной бигармонической проблемы складывается из следующих этапов:

1. Подбор для данной области полной системы гармонических функций $\varphi_n(x, y)$.
2. Построение на основе ее ортонормированной системы функций $\psi_n(x, y)$, т. е. вычисление коэффициентов φ_{np} , a_{np} , A_n и M_{ns} .
3. Нахождение частного решения w_0 .
4. Определение коэффициентов u_n по формуле (1.9), после чего функция Δw дается формулой

$$\Delta w = \Delta w_0 - \sum_{n=0}^{\infty} u_n \sum_{s=0}^n M_{ns} \varphi_n \quad (1.16)$$

5. Разыскание функции w .

Заметим, что первые два этапа не связаны с величинами Q, f, g , т. е. все относящиеся к этим этапам вычисления для данной области могут быть произведены раз навсегда (независимо от вида поперечной нагрузки в случае задачи изгиба плиты и независимо от внешних усилий в случае плоской задачи теории упругости).

§ 2. Построение ортонормированной системы функций для прямоугольной области. Обратимся к частному случаю прямоугольной области.

Поместим начало координат O в центр прямоугольника, а оси x и y направим параллельно его сторонам, имеющим соответственно длины $2a$ и $2b$.

Если рассматривается задача поперечного изгиба плиты прямоугольной формы произвольной внешней нагрузкой, то такую задачу удобно разбить на четыре более простые задачи, обладающие определенными свойствами симметрии, а именно, можно положить

$$q(x, y) = \sum_{i=1}^4 q^{(i)}(x, y) \quad (2.1)$$

$$q^{(1)}(x, y) = \frac{1}{4} [q(x, y) + q(-x, -y) + q(-x, y) + q(x, -y)]$$

$$q^{(1)}(-x, y) = q^{(1)}(x, y), \quad q^{(1)}(x, -y) = q^{(1)}(x, y)$$

$$q^{(2)}(x, y) = \frac{1}{4} [q(x, y) + q(-x, -y) - q(-x, y) - q(x, -y)]$$

$$q^{(2)}(-x, y) = -q^{(2)}(x, y), \quad q^{(2)}(x, -y) = -q^{(2)}(x, y)$$

$$q^{(3)}(x, y) = \frac{1}{4} [q(x, y) - q(-x, -y) + q(-x, y) - q(x, -y)] \quad (2.2)$$

$$q^{(3)}(-x, y) = q^{(3)}(x, y), \quad q^{(3)}(x, -y) = -q^{(3)}(x, y)$$

$$q^{(4)}(x, y) = \frac{1}{4} [q(x, y) - q(-x, -y) - q(-x, y) + q(x, -y)]$$

$$q^{(4)}(-x, y) = -q^{(4)}(x, y), \quad q^{(4)}(x, -y) = q^{(4)}(x, y)$$

Аналогичным образом можно разложить и заданные внешние напряжения в случае плоской задачи теории упругости, и тогда каждая из функций f и g в условиях (1.3) также может быть разложена на четыре части, обладающие соответствующими свойствами симметрии.

Теперь всю бигармоническую задачу можно разбить на четыре задачи, положив

$$w = \sum_{i=1}^4 w_i$$

$$\Delta w_i = Q_i, \quad [w_i]_C = f_i, \quad \left[\frac{\partial w_i}{\partial \nu} \right]_C = g_i \quad (2.3)$$

$$\Delta w_i = \Delta w_0^{(i)} - u_i, \quad \Delta \Delta w_0^{(i)} = Q_i, \quad \Delta u_i = 0$$

$$u_i = \sum_{R=0}^{\infty} u_n^{(i)} \psi_n^{(i)}, \quad \psi_n^{(i)} = \sum_{s=0}^n M_{ns}^{(i)} \varphi_n^{(i)}$$

В качестве подходящей полной системы гармонических функций $\varphi_n^{(i)}(x, y)$ можно выбрать функции, являющиеся частными решениями соответствующей задачи Дирихле с однородными граничными условиями. Такие функции можно записать в следующей форме:

$$\begin{aligned} \varphi_n^{(1)} &= \cos \frac{n\pi}{2} \cos \frac{n+1}{2a} \pi x \frac{\operatorname{ch} \frac{n+1}{2a} \pi y}{\operatorname{ch} \frac{n+1}{2a} \pi b} + \sin \frac{n\pi}{2} \cos \frac{n\pi y}{2b} \frac{\operatorname{ch} \frac{n}{2b} \pi x}{\operatorname{ch} \frac{n}{2b} \pi a} \\ \varphi_n^{(2)} &= \cos \frac{n\pi}{2} \sin \frac{n+2}{2a} \pi x \frac{\operatorname{sh} \frac{n+2}{2a} \pi y}{\operatorname{sh} \frac{n+2}{2a} \pi b} + \sin \frac{n\pi}{2} \sin \frac{n+1}{2b} \pi y \frac{\operatorname{sh} \frac{n+1}{2b} \pi x}{\operatorname{sh} \frac{n+1}{2b} \pi a} \\ \varphi_n^{(3)} &= \cos \frac{n\pi}{2} \cos \frac{n+1}{2a} \pi x \frac{\operatorname{sh} \frac{n+1}{2a} \pi y}{\operatorname{sh} \frac{n+1}{2a} \pi b} + \sin \frac{n\pi}{2} \sin \frac{n+1}{2b} \pi y \frac{\operatorname{ch} \frac{n+1}{2b} \pi x}{\operatorname{ch} \frac{n+1}{2b} \pi a} \\ \varphi_n^{(4)} &= \cos \frac{n\pi}{2} \sin \frac{n+2}{2a} \pi x \frac{\operatorname{ch} \frac{n+2}{2a} \pi y}{\operatorname{ch} \frac{n+2}{2a} \pi b} + \sin \frac{n\pi}{2} \cos \frac{n\pi y}{2b} \frac{\operatorname{sh} \frac{n}{2b} \pi x}{\operatorname{sh} \frac{n}{2b} \pi a} \end{aligned} \quad (2.4)$$

$(n = 0, 1, 2, \dots)$

Коэффициенты $\varphi_{np}^{(i)}$ даются при этом формулами

$$\varphi_{2k, 2s}^{(i)} = \varphi_{2k+1, 2s+1}^{(i)} = 0 \quad (k \neq s), \quad \varphi_{np}^{(i)} = \varphi_{pn}^{(i)} \quad (2.5)$$

$$\begin{aligned} \varphi_{2k, 2s+1}^{(1)} &= \frac{4 \left(\frac{2k+1}{2a} \pi \right) \left(\frac{2s+1}{2b} \pi \right)}{\left[\left(\frac{2k+1}{2a} \pi \right)^2 + \left(\frac{2s+1}{2b} \pi \right)^2 \right]^2}, & \varphi_{2k, 2k}^{(1)} &= \frac{ab}{\operatorname{ch}^2 \frac{2k+1}{2a} \pi b} \left[\frac{\operatorname{sh} \frac{2k+1}{a} \pi b}{\frac{2k+1}{a} \pi b} + 1 \right] \\ \varphi_{2s+1, 2s+1}^{(1)} &= \frac{ab}{\operatorname{ch}^2 \frac{2s+1}{2b} \pi a} \left[\frac{\operatorname{sh} \frac{2s+1}{b} \pi a}{\frac{2s+1}{b} \pi a} + 1 \right] \end{aligned} \quad (2.6)$$

$$\begin{aligned} \varphi_{2k, 2s+1}^{(2)} &= \frac{4 \left(\frac{k+1}{a} \pi \right) \left(\frac{s+1}{b} \pi \right)}{\left[\left(\frac{k+1}{a} \pi \right)^2 + \left(\frac{s+1}{b} \pi \right)^2 \right]^2}, & \varphi_{2k, 2k}^{(2)} &= \frac{ab}{\operatorname{sh}^2 \frac{k+1}{a} \pi b} \left[\frac{\operatorname{sh} \frac{2(k+1)}{a} \pi b}{\frac{2(k+1)}{a} \pi b} - 1 \right] \\ \varphi_{2s+1, 2s+1}^{(2)} &= \frac{ab}{\operatorname{sh}^2 \frac{s+1}{b} \pi a} \left[\frac{\operatorname{sh} \frac{2(s+1)}{b} \pi a}{\frac{2(s+1)}{b} \pi a} - 1 \right] \end{aligned} \quad (2.7)$$

$$\varphi_{2k, 2s+1}^{(3)} = \frac{4 \left(\frac{2k+1}{2a} \pi \right) \left(\frac{s+1}{b} \pi \right)}{\left[\left(\frac{2k+1}{2a} \pi \right)^2 + \left(\frac{s+1}{b} \pi \right)^2 \right]^2}, \quad \varphi_{2k, 2k}^{(3)} = \frac{ab}{\operatorname{sh}^2 \frac{2k+1}{2a} \pi b} \left[\frac{\operatorname{sh} \frac{2k+1}{a} \pi b}{\frac{2k+1}{a} \pi b} - 1 \right]$$

$$\varphi_{2s+1, 2s+1}^{(3)} = \frac{ab}{\operatorname{ch}^2 \frac{2s+1}{b} \pi a} \left[\frac{\operatorname{sh} \frac{2(s+1)}{b} \pi a}{\frac{2(s+1)}{b} \pi a} + 1 \right] \quad (2.8)$$

$$\varphi_{2k, 2s+1}^{(4)} = \frac{4 \left(\frac{k+1}{a} \pi \right) \left(\frac{2s+1}{2b} \pi \right)}{\left[\left(\frac{k+1}{a} \pi \right)^2 + \left(\frac{2s+1}{2b} \pi \right)^2 \right]^2}, \quad \varphi_{2k, 2k}^{(4)} = \frac{ab}{\operatorname{ch}^2 \frac{k+1}{a} \pi b} \left[\frac{\operatorname{sh} \frac{2(k+1)}{a} \pi b}{\frac{2(k+1)}{a} \pi b} + 1 \right]$$

$$\varphi_{2s+1, 2s+1}^{(4)} = \frac{ab}{\operatorname{sh}^2 \frac{2s+1}{2b} \pi a} \left[\frac{\operatorname{sh} \frac{2s+1}{b} \pi a}{\frac{2k+1}{a} \pi b} - 1 \right] \quad (2.9)$$

В табл. 1—3, даются коэффициенты $\varphi_{np}^{(i)}$, $a_{np}^{(i)}$, $A_n^{(i)}$ и $M_{ns}^{(i)}$ для квадратной области, причем расчет велся на девять функций и было положено $a = 1$; заметим, что в этом случае $\varphi_{np}^{(4)} \equiv \varphi_{np}^{(3)}$ и, следовательно,

$$a_{np}^{(4)} \equiv a_{np}^{(3)}, \quad A_n^{(4)} \equiv A_n^{(3)}, \quad M_{ns}^{(4)} \equiv M_{ns}^{(3)}.$$

§ 3. Изгиб упругой тонкой прямоугольной плиты сосредоточенной нагрузкой. Полагая в (1.1) и (1.3)

$$Q = \frac{q}{D}, \quad f = g = 0 \quad (3.1)$$

из приведенного общего решения получим решение задачи об изгибе тонкой упругой плиты с закрепленным контуром под действием поперечной нагрузки.

Для прямоугольной области один из возможных способов нахождения исходной полной системы гармонических функций $\varphi_n(x, y)$ и построения соответствующей ортонормированной системы функций $\psi_n(x, y)$ указан в § 2. Дальнейшие действия — нахождение частного решения w_0 и вычисление коэффициентов u_n — связаны уже с конкретным типом нагрузки $q(x, y)$.

Будем разыскивать функцию Грина данной задачи, т. е. найдем прогиб $w(x, y)$ в том случае, когда внешняя нагрузка представляет собой сосредоточенную силу P , приложенную в произвольной точке (x_0, y_0) плиты. В соответствии с разбиением всей задачи на четыре отдельные задачи [формулы (2.1)—(2.3)], будем определять поотдельности частные решения $w_0^{(i)}$ и коэффициенты $u_n^{(i)}$.

Мы во всех случаях будем искать частные решения, соответствующие случаю свободно опертых краев плиты.

В случае задачи I внешняя нагрузка $q(x, y)$ складывается, очевидно, из четырех сосредоточенных сил величины $P/4$ каждая, приложенных в симметрично расположенных точках.

Разложим $w_0^{(1)}$ в двойной тригонометрический ряд:

$$w_0^{(1)} = \sum_{m=0}^{\infty} \sum_{n=0}^{\infty} w_0^{(1)} \cos \frac{2m+1}{2a} \pi x \cos \frac{2n+1}{2b} \pi y \quad (3.2)$$

Таблица 1

Коэффициенты $\Phi_{np}^{(i)}$

$n \backslash p$	0	1	2	3	4	5	6	7	8	9
<i>Задача I (i = 1)</i>										
0	0.7427	0.7427								
1	0.4053	0.4863	0.2125	0.2125	0.1273	0.1273	0.09094	0.09094	0.07074	0.07074
2	0	0	0.04503	0.02104	0.01621	0.01036	0.008272	0.006043	0.005003	0.005003
3	0.04863	0	0	0	0	0	0	0	0	0
4	0	0.01199	0.02104	0.01042	0.01036	0	0	0	0	0
5	0	0	0	0	0	0	0	0	0	0
6	0.01199	0.004539	0.01042	0.005404	0.006492	0.006492	0.006043	0.006043	0.006043	0.006043
7	0.004539	0	0	0	0	0	0	0	0	0
8	0	0.002170	0	0	0	0	0	0	0	0
9	0.002170	0	0.005404	0	0.006492	0	0.006043	0	0.005003	0.005003
<i>Задача II (i = 2)</i>										
0	0.3120	0.3120								
1	0.1013	0.03242	0.1592	0.1592	0.1061	0.1061	0.07955	0.07955	0.06365	0.06365
2	0	0	0.02533	0.01439	0.01126	0.007781	0.006331	0.004823	0.004053	0.004053
3	0.03242	0	0	0	0	0	0	0	0	0
4	0	0.01216	0.04439	0.008106	0.007781	0	0	0	0	0
5	0.01216	0	0	0	0	0	0	0	0	0
6	0	0.005609	0.008106	0.004819	0.005260	0.005260	0.004823	0.004823	0.004823	0.004823
7	0.005609	0	0	0	0	0	0	0	0	0
8	0	0.002998	0	0	0	0	0	0	0	0
9	0.002998	0	0.004819	0	0.005260	0	0.004823	0	0.004053	0.004053
<i>Задача III (i = 3)</i>										
0	0.5051	0.3246	0.2119	0.1592	0.1273	0.1061	0.09094	0.07955	0.07074	0.06365
1	0.1297	0.05755	0.03113	0.01928	0.01307	0.009423	0.007109	0.005553	0.004454	0.004454
2	0	0	0	0	0	0	0	0	0	0
3	0.02244	0.01928	0.01441	0.01074	0.008187	0.006396	0.005110	0.005110	0.005110	0.005110
4	0	0	0	0	0	0	0	0	0	0
5	0.007107	0.008078	0.007299	0.006202	0.005188	0.005188	0.005110	0.005110	0.005110	0.005110
6	0	0	0	0	0	0	0	0	0	0
7	0.003069	0.004038	0.004094	0.003202	0.002602	0.002602	0.002602	0.002602	0.002602	0.002602
8	0	0	0	0	0	0	0	0	0	0
9	0.001589	0	0.004094	0	0.005188	0	0.005110	0	0.004454	0.004454

Таблица 3

Числа $M_{ns}^{(i)}$

$n \backslash s$	0	1	2	3	4	5	6	7	8	9
<i>Задача I</i>										
0	1.160									
1	0.7545	-1.384								
2	-0.4114	0.2042	-2.192							
3	0.2358	-0.1623	0.5138	-2.252						
4	-0.66765	0.68913	-0.08700	0.3147	-2.833					
5	0.09944	-0.08225	0.3295	-0.1316	0.3986	-2.860				
6	-0.04601	0.65220	-0.08281	0.1948	-0.07515	0.2997	-3.346			
7	0.05683	-0.05142	0.2039	-0.1026	0.3089	-0.1054	0.3320	-3.361		
8	-0.03295	0.03530	-0.07065	0.1294	-0.07553	0.2229	-0.06663	0.2755	-3.786	
9	0.03783	-0.03581	0.1352	-0.08084	0.2817	-0.09287	0.2817	-0.08819	0.2918	-3.797
<i>Задача II</i>										
0	1.790									
1	0.6142	-1.893								
2	-0.09562	0.2948	-2.537							
3	0.3151	-0.1480	0.4396	-2.572						
4	-0.08280	0.1562	-0.08110	0.3094	-3.100					
5	0.1670	-0.1018	0.3216	-0.1174	0.3589	-3.122				
6	-0.6469	0.09653	-0.07970	0.2138	-0.07059	0.2881	-3.574			
7	0.1022	-0.07830	0.2219	-0.07287	0.2947	-0.09582	0.3100	-3.586		
8	-0.05174	0.06691	0.07353	0.01568	-0.07417	0.2267	-0.06599	0.2962	-3.992	
9	0.06988	-0.05556	0.1580	-0.07176	0.2264	-0.08688	0.2604	-0.09052	0.2784	-4.000
<i>Задача III</i>										
0	1.407									
1	0.4743	-1.847								
2	-0.1126	0.4383	-2.233							
3	0.1473	-0.1310	0.4115	-2.558						
4	-0.07285	0.2183	-0.1148	0.3777	-2.848					
5	0.07451	-0.09667	0.2595	-0.1048	0.3595	-3.202				
6	-0.04870	0.1249	-0.09618	0.2641	-0.09437	0.3449	-3.356			
7	0.04090	-0.06958	0.1616	-0.08163	0.2637	-0.08952	0.3063	-3.581		
8	-0.03495	0.08226	-0.07960	0.18500	-0.08947	0.2952	-0.08245	0.2899	-3.796	
9	0.03499	-0.05980	0.1255	-0.08670	0.2188	-0.09610	0.2795	-0.03612	0.3014	-4.014

При этом величина $w_0^{(1)}$ должна удовлетворять неоднородному бигармоническому уравнению

$$\Delta^2 w_0^{(1)} = \frac{q^{(1)}}{D} \quad (3.3)$$

и граничным условиям

$$[w_0^{(1)}]_C = 0 \quad (3.4)$$

$$\left(\frac{\partial^2 w_0^{(1)}}{\partial y^2}\right)_{x=\pm a} = \left(\frac{\partial^2 w_0^{(1)}}{\partial y^2}\right)_{y=\pm b} = 0 \quad (3.5)$$

Для нахождения коэффициентов $w_{mn}^{(1)}$ умножим уравнение (3.3) на $\cos[(2n+1)\pi x/2a] \cos[(2m+1)\pi y/2b] dx dy$ и проинтегрируем по всей площади прямоугольника. Это дает

$$\begin{aligned} & \int_{-a}^a \int_{-b}^b \left(\frac{\partial^4 w_0^{(1)}}{\partial x^4} + 2 \frac{\partial^4 w_0^{(1)}}{\partial x^2 \partial y^2} + \frac{\partial^4 w_0^{(1)}}{\partial y^4} \right) \cos \frac{2m+1}{2a} \pi x \cos \frac{2n+1}{2b} \pi y dx dy = \\ & = \int_{-a}^a \int_{-b}^b \frac{q(x, y)}{D} \cos \frac{2m+1}{2a} \pi x \cos \frac{2n+1}{2b} \pi y dx dy = \frac{P}{D} \cos \frac{2m+1}{2a} \pi x_0 \cos \frac{2n+1}{2b} \pi y_0 \end{aligned} \quad (3.6)$$

Интегрируя по частям стоящие слева интегралы и учитывая условия свободного опирания (3.4)–(3.5), получаем искомое значение $w_{mn}^{(1)}$:

$$w_{mn}^{(1)} = \frac{P}{abD} \frac{\cos \frac{2m+1}{2a} \pi x_0 \cos \frac{2n+1}{2b} \pi y_0}{\left[\left(\frac{2m+1}{2a} \pi \right)^2 + \left(\frac{2n+1}{2b} \pi \right)^2 \right]^2} \quad (3.7)$$

Таким образом, частное решение $w_0^{(1)}$ найдено. Аналогичным образом можно получить частные решения для остальных трех задач.

Переходим к определению коэффициентов $u_n^{(i)}$. Из (1.9) при $f = g = 0$ имеем

$$u_n^{(i)} = \iint_{\sigma} (\Delta w_0^{(i)}) \psi_n^{(i)} d\tau \quad (3.8)$$

Подставляя сюда выражение (1.14), получаем

$$u_n^{(i)} = \sum_{s=0}^n M_{ns}^{(i)} \iint_{\sigma} (\Delta w_0^{(i)}) \varphi_s^{(i)} d\tau \quad (3.9)$$

Подсчитаем входящий сюда двойной интеграл при помощи формулы Грина. Учитывая равенства $\Delta \varphi_s^{(i)} = 0$, $[w_0^{(i)}]_C = 0$, будем иметь

$$\begin{aligned} & \iint_{\sigma} \Delta w_0^{(i)} \varphi_s^{(i)} d\tau = \iint_{\sigma} [\Delta w_0^{(i)} \varphi_s^{(i)} - \Delta \varphi_s^{(i)} w_0^{(i)}] d\tau = \\ & = \int_C \left[\varphi_s^{(i)} \frac{\partial w_0^{(i)}}{\partial \nu} - w_0^{(i)} \frac{\partial \varphi_s^{(i)}}{\partial \nu} \right] ds = \int_C \varphi_s^{(i)} \frac{\partial w_0^{(i)}}{\partial \nu} ds \end{aligned}$$

Таким образом,

$$u_n^{(i)} = \sum_{s=0}^n M_{ns}^{(i)} \int_C \varphi_s^{(i)} \frac{\partial w_0^{(i)}}{\partial \nu} ds \quad (3.10)$$

В случае задачи I имеем [см. формулы (2.4)]

$$[\varphi_{2k}^{(1)}]_{x=\pm a} = [\varphi_{2k+1}^{(1)}]_{y=\pm b} = 0, \tag{3.11}$$

$$[\varphi_{2k}^{(1)}]_{y=\pm b} = (-1)^k \cos \frac{2k+1}{2a} \pi x, \quad [\varphi_{2k+1}^{(1)}]_{x=\pm a} = (-1)^k \cos \frac{2k+1}{2b} \pi y$$

При помощи (3.11), (3.7) и (3.2) получим для коэффициента $u_n^{(1)}$:

$$u_{2k}^{(1)} = \frac{P}{2D} \left[\sum_{s=0}^k (-1)^s M_{2k, 2s}^{(1)} F_s(a, b, x_0, y_0) + \sum_{s=0}^{k-1} (-1)^s M_{2k, 2s+1}^{(1)} F_s(b, a, y_0, x_0) \right]$$

$$u_{2k+1}^{(1)} = \frac{P}{2D} \left[\sum_{s=0}^k (-1)^s M_{2k+1, 2s}^{(1)} F_s(a, b, x_0, y_0) + \sum_{s=0}^k (-1)^s M_{2k+1, 2s+1}^{(1)} F_s(b, a, y_0, x_0) \right] \tag{3.12}$$

Здесь обозначено

$$F_s = F_s(a, b, x_0, y_0) = \tag{3.13}$$

$$= \left[\frac{y_0}{b} \operatorname{sh} \frac{2s+1}{2a} \pi y_0 \operatorname{ch} \frac{2s+1}{2a} \pi b - \operatorname{ch} \frac{2s+1}{2a} \pi y_0 \operatorname{sh} \frac{2s+1}{2a} \pi b \right] \frac{b^2 \cos \frac{2s+1}{2a} \pi x_0}{\frac{2s+1}{2a} \pi b \operatorname{ch}^2 \frac{2s+1}{2a} \pi b}$$

Точно таким же образом можно получить аналогичные формулы для коэффициентов $u_n^{(2)}$, $u_n^{(3)}$ и $u_n^{(4)}$, которые здесь не приводятся.

Таблица 4

n	$u_n^{(1)}$	$u_n^{(2)}$	$u_n^{(3)}$
0	-0.1170	-0.02607	-0.03912
1	+0.0636	+0.01863	+0.02607
2	-0.001085	-0.002902	+0.001545
3	-0.00085	-0.002433	-0.002735
4	-0.004287	-0.001806	-0.003479
5	-0.003579	-0.001607	-0.001520
6	-0.001166	-0.0004120	-0.001148
7	-0.001036	-0.0003732	-0.000102
8	-0.000340	-0.0001600	-0.000435
9	-0.000276	-0.0001524	-0.000022

В табл. 4 приведены коэффициенты $u_n^{(i)}$ для квадрата.

Имея частные решения $w_0^{(i)}$ и коэффициенты $u_n^{(i)}$, можно написать при помощи формул (1.10) и (1.14):

$$\Delta w = \sum_{i=1}^4 \left[\Delta w_0^{(i)} - \sum_{n=0}^{\infty} u_n^{(i)} \sum_{s=0}^n M_{ns}^{(i)} \varphi_s^{(i)} \right] \tag{3.14}$$

Дальнейшее решение задачи, как уже было указано в § 1, сводится к задаче Дирихле или Неймана.

Если мы интересуемся не прогибом плиты w , а значениями опорных моментов (т. е. изгибающих моментов на контуре плиты), то формула (3.14) сразу дает нам значения искомых величин. В самом деле, если края плиты закреплены, то опорный момент $M \equiv M(s)$ дается формулой

$$-M = [D \Delta w]_G \tag{3.15}$$

Если воспользоваться выражением (3.14) и вспомнить, что частные решения $w_0^{(i)}$ выбирались так, что $[\Delta w_0^{(i)}]_G = 0$, то получим следующее значение для опорного момента:

$$M = \left[D \sum_{i=1}^4 \sum_{n=0}^{\infty} u_n^{(i)} \sum_{s=0}^n M_{ns}^{(i)} \varphi_s^{(i)} \right]_G \tag{3.16}$$

Очевидно, что расчет опорных моментов для каждой из четырех задач следует производить лишь для участка контура $x = a$, $0 \leq y \leq b$ и для

Таблица 5

$\frac{x}{a}$	$\frac{1}{P} [M]_{y=b}$	$\frac{y}{a}$	$\frac{1}{P} [M]_{x=a}$	$\frac{x}{a}$	$\frac{1}{P} [M]_{y=b}$	$\frac{y}{a}$	$\frac{1}{P} [M]_{x=a}$
-1	0	-1	0	0	-0.112	0	-0.0495
-0.9	0.0110	-0.9	0.0014	0.1	-0.141	0.1	-0.0518
-0.8	0.0122	-0.8	-0.0002	0.2	-0.173	0.2	-0.0522
-0.7	0.0034	-0.7	-0.0048	0.3	-0.200	0.3	-0.0512
-0.6	-0.0090	-0.6	-0.0102	0.4	-0.212	0.4	-0.0479
-0.5	-0.0199	-0.5	-0.0167	0.5	-0.205	0.5	-0.0407
-0.4	-0.319	-0.4	-0.0241	0.6	-0.169	0.6	-0.0308
-0.3	-0.0488	-0.3	-0.0320	0.7	-0.108	0.7	-0.0230
-0.2	-0.0686	-0.2	-0.0390	0.8	-0.0452	0.8	-0.0176
-0.1	-0.0892	-0.1	-0.0450	0.9	-0.0080	0.9	-0.0104
				1.0	0	1.0	0

участка $y = b$, $0 \leq x \leq a$, так как на все остальные участки полученные значения моментов могут быть продолжены либо четным, либо нечетным образом. Положим

$$M_x^{(i)} = [M^{(i)}(s)]_{y=b} = D \sum_{n=0}^{\infty} u_n^{(i)} \sum_{s=0}^n M_{ns}^{(i)} \varphi_s^{(i)}(x, b) \quad (0 \leq x \leq a) \quad (3.17)$$

$$M_y^{(i)} = [M^{(i)}(s)]_{x=a} = D \sum_{n=0}^{\infty} u_n^{(i)} \sum_{s=0}^n M_{ns}^{(i)} \varphi_s^{(i)}(a, y) \quad (0 \leq y \leq b)$$

Так как согласно (2.4), $\varphi_{2k}^{(i)}(a, y) = \varphi_{2k+1}^{(i)}(x, b) = 0$, то

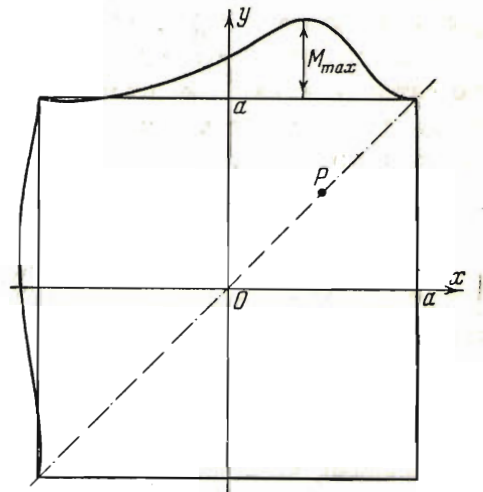
$$M_x^{(i)} = D \sum_{k=0}^{\infty} \left[u_{2k}^{(i)} \sum_{s=0}^k M_{2k, 2s}^{(i)} \varphi_{2s}^{(i)}(x, b) + u_{2k+1}^{(i)} \sum_{s=0}^k M_{2k+1, 2s}^{(i)} \varphi_{2s}^{(i)}(x, b) \right] \quad (3.18)$$

$$M_y^{(i)} = D \sum_{k=0}^{\infty} \left[u_{2k}^{(i)} \sum_{s=0}^{k-1} M_{2k, 2s+1}^{(i)} \varphi_{2s+1}^{(i)}(a, y) + u_{2k+1}^{(i)} \sum_{s=0}^k M_{2k+1, 2s+1}^{(i)} \varphi_{2s+1}^{(i)}(a, y) \right]$$

Подставляя при помощи (2.4) значения $\varphi_n^{(i)}(a, y)$ и $\varphi_n^{(i)}(b, x)$, получаем окончательные формулы для опорных моментов. Результаты вычислений опорных моментов для квадратной плиты в том случае, когда сосредоточенная сила P приложена в точке $x_0 = y_0 = 1/2 a$, приведены в табл. 5 и изображены графически на фиг. 1.

Максимальное значение опорного момента получается при этом равным

$$|M_{\max}| = \frac{1}{P} 0.212$$



Фиг. 1

Для случая центральной силы соответствующее значение коэффициента, как известно, равно 0.126.

§ 4. Плоская задача теории упругости. Согласно сказанному в § 1, в случае плоской задачи теории упругости функция напряжений Φ определяется равенствами

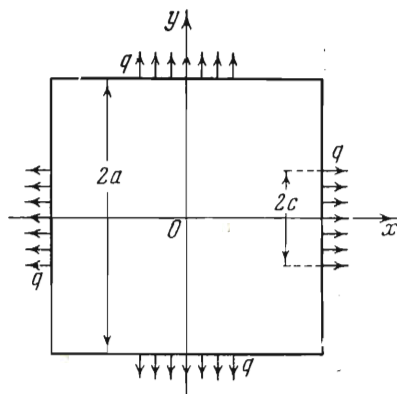
$$\Delta\Phi = \sum_{n=0}^{\infty} a_n \psi_n, \quad a_n = \int_C \left(g \psi_n - f \frac{\partial \psi_n}{\partial \nu} \right) ds, \quad f = [\Phi]_C, \quad g = \left[\frac{\partial \Phi}{\partial \nu} \right]_C \quad (4.1)$$

Обычно на контуре задаются нормальные и касательные напряжения

$$\sigma_x = \frac{\partial^2 \Phi}{\partial y^2}, \quad \sigma_y = \frac{\partial^2 \Phi}{\partial x^2}, \quad \tau_{xy} = - \frac{\partial^2 \Phi}{\partial x \partial y}$$

При этом контурные значения Φ и $\partial\Phi/\partial\nu$ могут быть выражены через них следующим образом:

$$\begin{aligned} [\Phi]_C &= \\ &= \int_0^S \left[\cos(\nu, x) \int_0^S Y_\nu ds + \cos(\nu, x) \int_0^S X_\nu ds \right] ds \\ \left[\frac{\partial \Phi}{\partial \nu} \right]_C &= \\ &= - \cos(\nu, x) \int_0^S Y_\nu ds + \cos(\nu, y) \int_0^S X_\nu ds \\ X_\nu &= \sigma_x \cos(\nu, x) + \tau_{xy} \cos(\nu, y) \\ Y_\nu &= \tau_{xy} \cos(\nu, x) + \sigma_y \cos(\nu, y) \end{aligned} \quad (4.2)$$



Фиг. 2

Что касается системы ортонормированных функций $\psi_n(x, y)$, то она строится по способу, указанному в § 1. Для случая прямоугольной области можно непосредственно использовать результаты § 2.

Остановимся на частной задаче о растяжении квадратной пластинки симметричной нагрузкой, распределенной по некоторому участку (фиг. 2).

Очевидно, что в этом случае мы имеем дело с задачей I и достаточно ограничиться функциями $\varphi_n(x, y) \equiv \varphi_n^{(1)}(x, y)$. Положим

$$\begin{aligned} [\Phi]_{x=\pm a} &= \begin{cases} -qcy - \frac{1}{2}qc^2 & (-a \leq y \leq -c) \\ \frac{1}{2}qy^2 & (|y| \leq c) \\ qcy - \frac{1}{2}qc^2 & (c < y < a) \end{cases} \\ \left[\frac{\partial \Phi}{\partial \nu} \right]_C &\equiv qc, \\ [\Phi]_{y=\pm a} &= \begin{cases} -qcx - \frac{1}{2}qc^2 & (-a \leq x \leq -c) \\ \frac{1}{2}qx^2 & (|x| \leq c) \\ qcx - \frac{1}{2}qc^2 & (c \leq x \leq a) \end{cases} \end{aligned} \quad (4.3)$$

Легко видеть, что при этом касательные и нормальные напряжения на контуре принимают требуемые значения:

$$\begin{aligned} [\sigma_x]_{x=\pm a} &= \left[\frac{\partial^2 \Phi}{\partial y^2} \right]_{x=\pm a} = \begin{cases} 0 & (|y| > c) \\ q & (|y| < c) \end{cases} \\ [\sigma_x]_{y=\pm a} &= \left[\frac{\partial^2 \Phi}{\partial x^2} \right]_{y=\pm a} = \begin{cases} 0 & (|x| > c) \\ q & (|x| < c) \end{cases} \\ [\tau_{xy}]_C &= - \left[\frac{\partial^2 \Phi}{\partial x \partial y} \right]_C = 0 \end{aligned}$$

Кроме того, выражения (4.3) обеспечивают непрерывность Φ на контуре вместе с первыми производными.

Вычислим коэффициенты a_n по формуле (4.1):

$$a_n = \sum_{s=0}^n M_{ns} \int_C \left[\frac{\partial \Phi}{\partial \nu} \varphi_s - \Phi \frac{\partial \varphi_s}{\partial \nu} \right] ds \quad (4.4)$$

Здесь $M_{ns} \equiv M_{ns}^{(1)}$. Так как при $b = a$

$$\begin{aligned} [\varphi_{2k}^{(1)}]_{x=\pm a} &= 0, & [\varphi_{2k}^{(1)}]_{y=\pm a} &= (-1)^k \cos \alpha_k x & (\alpha_k = \frac{2k+1}{2a} \pi) \\ \left[\frac{\partial \varphi_{2k}^{(1)}}{\partial x} \right]_{x=\pm a} &= -\alpha_k \frac{\operatorname{ch} \alpha_k y}{\operatorname{ch} \alpha_k a}, & \left[\frac{\partial \varphi_{2k}^{(1)}}{\partial y} \right]_{y=\pm a} &= \alpha_k (-1)^k \operatorname{th} \alpha_k a \cos \alpha_k x \\ [\varphi_{2k+1}^{(1)}]_{x=\pm a} &= (-1)^k \cos \alpha_k y, & [\varphi_{2k+1}^{(1)}]_{y=\pm a} &= 0 \\ \left[\frac{\partial \varphi_{2k+1}^{(1)}}{\partial x} \right]_{x=\pm a} &= \alpha_k (-1)^k \operatorname{th} \alpha_k a \cos \alpha_k y, & \left[\frac{\partial \varphi_{2k+1}^{(1)}}{\partial y} \right]_{y=\pm a} &= -\alpha_k \frac{\operatorname{ch} \alpha_k x}{\operatorname{ch} \alpha_k a} \end{aligned}$$

то после некоторых выкладок найдем, что

$$a_n = 4Pa^2 \sum_{s=0}^n \frac{M_{ns}}{\alpha_s^2} \left[(-1)^s \operatorname{th} \alpha_s a \frac{\sin \alpha_s c}{c} + \frac{\operatorname{sh} \alpha_s c}{c} \frac{1}{\operatorname{ch} \alpha_s a} \right] \quad (4.5)$$

где обозначено $2qc = P$.

Рассмотрим сумму нормальных напряжений $\sigma_x + \sigma_y = \Delta \Phi$ в центре пластинки, даваемую формулой

$$(\Delta \Phi)_{x=y=0} = \sum_{n=0}^{\infty} a_n \sum_{s=0}^n M_{ns} \varphi_s(0, 0) \quad \text{или} \quad (\sigma_x + \sigma_y)_{x=y=0} = \sum_{n=0}^{\infty} a_n \sum_{s=0}^n \frac{M_{ns}}{\operatorname{ch} \alpha_s a} \quad (4.6)$$

Численные расчеты производились для $c = 0$ (сосредоточенная сила величины P), для $c = \frac{1}{2}a$ и для $c = a$ (простое растяжение). Суммы нормальных напряжений в центре пластины получились соответственно равными

$$2.60 \frac{P}{2a}, \quad 2.34 \frac{P}{2a}, \quad 1.998 \frac{P}{2a}$$

Точное решение для последнего случая дает коэффициент 2.

Поступила 19 IX 1952

Ленинградский политехнический институт

ЛИТЕРАТУРА

1. Гринберг Г. А. О решении плоской задачи теории упругости и задачи об изгибе тонкой плиты с закрепленным контуром. ДАН СССР, т. LXXVI, 1951.